

## 技術解說

# 眞空을 利用한 热處理 技術動向

The Tendency of Heat Treatment Technique Using Vacuum

서 영 규

부산진공열처리 대표

## I. 머릿말

眞空熱處理技術은 航空產業, 宇宙產業 및 電子產業의 발전에 따라 관련부품의 高精度를 위한 신뢰성 있는 열처리기술로써 급속히 발전되어 왔고 최근에는 公害 및 ENERGY절약등의 次元에서 그 技術이 끊임없이 開發되고 또한 국내에서도 널리 보급되어 오는 추세에 있다.

一般的으로 종래까지의 热處理技術은 溫度一時間의 2次元의인 處理로 이루어져 왔으나 現在는 壓力を 첨가 시킨 溫度一時間一壓力의 3次元의인 處理로 變하고 있다. 그 代表의으로 低壓을 利用한 真空熱處理가 보급되었고 더 나아가 真空을 利用한 表面硬化法으로 溫度-時間-壓力-電氣의 ENERGY의 4次元의인 放電을 利用한 이온窒化法, 이온浸炭法 및 이온 Plating法도 보급되고 있다.

여기에서는 최근 국내에서도 급속도로 보급되고 있는 真空熱處理의 技術과 特징을 實務次元에서 소개하고 이미 여러차례 소개된 바있는 真空 및 放電을 利用한 表面硬化法에 대해서는 간략하게 그 原理와 特性에 대해서만 기술하고자 한다.

## 2. 真空熱處理

眞空雰圍氣에서 热處理를 하면 金屬表面의 變質層發生이 없는 우수한 光輝性이 얻어지고 一般 雰圍氣處理에 비해 變形이 적으며 金屬中 不純GAS를 제거할 수 있고 昇溫 및 冷却特性이 좋은等 여러가지 特징이 있으나 여기서는 光輝性, 變形, 昇溫特性 및 冷却特性에 대해 기술하고자 한다.

## 2-1. 光輝性

### 2-1-1 必要한 真空度

진공열처리를 하면 다소 表面에 級(Scale)이 있는 鋼에도 깨끗한 表面을 얻을 수 있고 특별한 가스를 사용하지 않아도 光輝열처리가 가능하다. 특히 분위기 가스와 화학반응이 쉬운 금속의 光輝열처리에는 최적이다. 그러면 진공열처리에 필요한 真空度는 어느정도가 좋은가? 殘存ガス는 어느정도 있는가에 대해 고찰해 보자. 표 1<sup>1)</sup>에 真空度에 맞는 殘存ガス量 또는 露點(Dew point)에 대해 表示되어 있다.

冷却時에 통상 사용되고 있는 純度가 좋은 不活性ガス는 대개 0.1%의 반응성 불순물가스를 함유하고 있는 경우가 많다. 不活性ガス를 市販하는 그대로 사용하면 不純物ガス가 加熱되어 金屬과 反應을 일으키므로 精製할必要가 있다.

그러나 불순물을 1 ppm이하로 精製하는 것은 비용, 순도유지등의 관점에서 무리이다. 표 1에서 1 ppm의 불순물가스의 殘存을 허용하게 되면 真空度는 10<sup>-3</sup>Torr

표 1. 진공도와 相應殘存ガス量 및 露點

眞空度 (Torr)	100	10	1	10 <sup>-1</sup>	10 <sup>-2</sup>	10 <sup>-3</sup>	10 <sup>-4</sup>	10 <sup>-5</sup>
相應不純物量 (%)	13.4	1.34	0.134	0.0134				
相應不純物量 (ppm)					13.4	1.34	0.134	0.0134
相應露點 (°C)		+11	-18	-40	-59	-74	-88	-101

정도면 양호한 것을 알 수 있다. 근래의 真空장치는  $10^{-3}$ Torr의 真空度는 비교적 용이하게 얻어질 수 있다.

無酸化加熱 雾圍氣爐에서는 그 露點은 기껏해야  $-30^{\circ}\text{C} \sim -40^{\circ}\text{C}$  정도라 할 수 있다. 이 露點에 대한 真空度는  $10^{-1}$  Torr정도의 값으로 真空爐에서는 아주 쉽게 얻을 수 있는 값이다. 그러므로 真空를 사용하는 쪽이 잘 精製된 不活性 雾圍氣gas를 분위기로 이용하는 편보다 아주 쉽고, COST절감, 脱炭 및 浸炭이 없는 光輝面貌을 얻을 수 있다. 공업적으로 이용되고 있는 真空度는 1기압에서  $10^{-6}$  Torr까지로써 真空度와 露點의 관계에서 보면 일반 열처리에 있어서는  $10^{-3}$  Torr 정도의 真空度면 충분함을 알 수 있다.

### 2-1-2 真空熱處理에 의한 光輝度측정<sup>2)</sup>

表面狀態의 관정에 表面의 反射率값으로 나타내는 光輝度는 다소 제품表面의 색깔, 平滑度등에 따라 달라질 수 있으나 JIS Z 8741에 따른 光輝度(光澤)를 反射率로 측정하여 각재질의 真空熱處理 前后的 光輝度를 표 2에 나타내었다. 물론 열처리전의 시료의 상태는 鏡面상태로 연마한 表面으로 기준한 것이다.

이와같이 真空熱處理의 光輝度특징은 열처리전 시료상태에 가까울 정도의 光輝性을 유지하고 있음을 알 수 있다.

단지 高速度工具鋼의 경우 加熱溫度가 높기 때문에 高溫加熱中에 表面全體에 엷은 화색막이 생성되고 경우에 따라 炭化物이 부착되기도 한다. 자료에는 나타나 있지 않으나 SKD-11 鋼種도 高 Cr鋼으로 SKD-61 보다 우수한 光輝性을 가지고 있다.

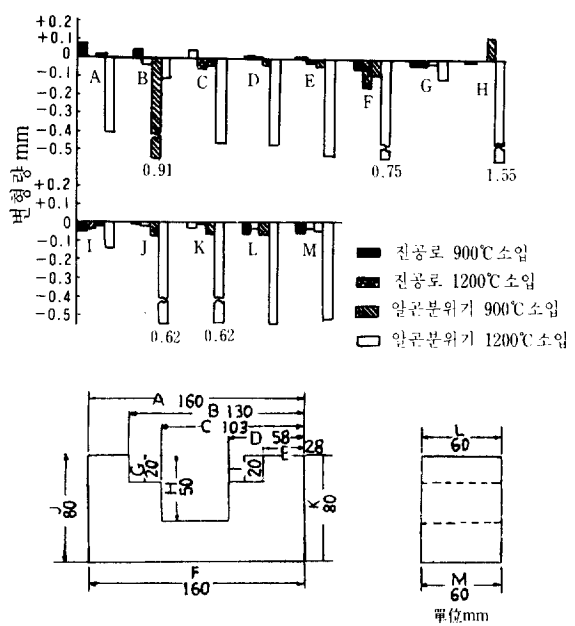
표 2. 真空열처리 전후의 表面光輝度(反射率)비교

재질	真空열처리조건	光輝度(反射率)		%
		열처리전	열처리후	
SCM 4	$850^{\circ}\text{C} \times 30$ 분 유냉	208.0	178.7	85.9
SKD 61	$1030^{\circ}\text{C} \times 10$ 분 가스냉	209.2	177.0	84.6
SKH 9	$1220^{\circ}\text{C} \times 10$ 분 유냉	197.0	120.0	60.9
	$1220^{\circ}\text{C} \times 10$ 가스냉	213.7	135.3	63.3
SUS 430	$850^{\circ}\text{C} \times 30$ 분 가스냉	204.0	194.7	95.5

### 2-2 热處理 變形

真空熱處理에 있어서의 變形은 종래 열처리품의 1/3 ~ 1/5로서 아주 적다. 이것은 加熱이 放射加熱方式으로 均一하고 비교적 완만한 加熱이 이루어지기 때문이다. 그러나 放射加熱의 경우에도 處理物의 장입방법 및 形狀에 따라서는 局部加熱이 발생될 수도 있으므로 變形이 오므로 주의를 요한다.

그림 1은<sup>3)</sup> 열간공구강을 真空爐와 알곤분위기로에서 각각  $1050^{\circ}\text{C}$ 에서 소입했을 때의 變形量을 비교한 것으로



(변형량 m/m)

부위 로구분	A (160)	B (130)	C (103)	D (58)	E (28)	F (160)	G (20)
진공로소입	-0.01	-0.04	-0.05	-0.03	-0.04	-0.15	-0.03
분위기소입	-0.4	-0.1	-0.45	-0.45	-0.5	-0.75	-0.12

부위 로구분	H (50)	I (20)	J (80)	K (80)	L (60)	M (60)
진공로소입	-0.2	-0.04	-0.02	-0.03	-0.05	-0.03
분위기소입	-1.55	-0.15	-0.62	-0.62	-0.6	-0.55

( )는 시료의 치수

그림 1. 分위기로와 진공로의 변형량 비교.

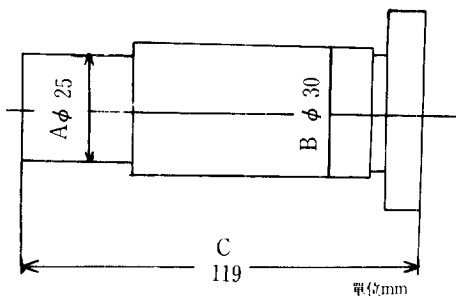


그림 2. SKD-11 PUNCH형상

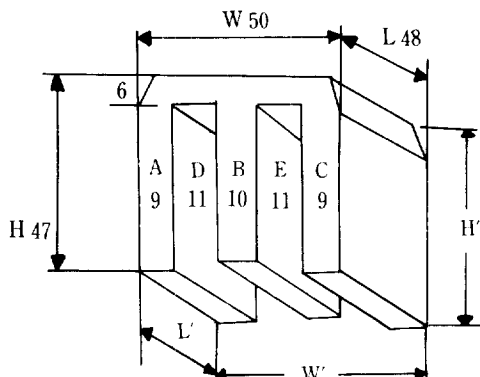


그림 3. 試料形狀 SKD-11

표 3. SKD-11 punch의 열처리 변형

열처리 조건 (진공가스소입로)	850°C × 30 분 1050°C × 30 분 GAS냉각
처리후 표면경도	Hv 780~860
평균변형량 { A B C }	-6.5 μm -7.9 μm +71.1 μm

동일온도에서는 真空熱處理쪽이 變形이 훨씬 적음을 알 수 있다.

그림 2와 표 3은 SKD-11 PUNCH의 形狀과 真空ガス 소입시의 變形量으로써 真空變形은 壓延方向으로는 팽창하고 압연방향에 직각인 즉 直徑方向은 통상 수축됨을 알 수 있다. 그리고 고온으로 가열된 제품이 가열실에서 냉각실로 이동되는 2室形真空爐보다 정지상태에서 가열과 냉각이 이루어지는 1室形真空爐가 變形이 적은 편이다.

#### 2-2-2 真空ガス 燃入에 따른 變形測定

真空ガス 소입로(1室形)를 이용<sup>3)</sup>, 그림 3과 같은 SKD-11 PUNCH를 真空ガス 燃入하여 그 變形量을 측정하였다. 이와같은 加工度가 높은 形狀의 것은 燃入變形外에 加工應力에 따른 變形도 있기 때문에 다음 2종류의 공정으로 가공된 시료를 이용하였다.

- 1) 試料A;재료절단→황삭가공→정삭가공
- 2) 試料B;재료절단→소둔(850°C × 30分 후 爐冷→황삭가공→소둔→정삭가공

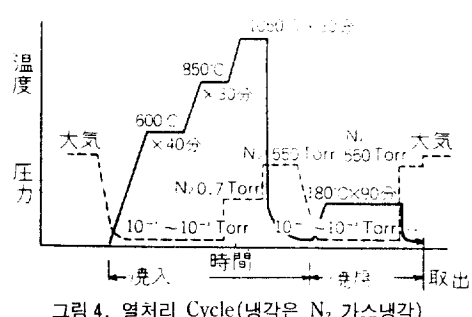
그림 4. 열처리 Cycle(냉각은 N<sub>2</sub> 가스냉각)

표 4. 시료 A, B의 열처리후 변형량

부위 시료	A	B	C	D	E
시료A	+0.02	-0.01	0	-0.05	0
	+0.03	-0.02	-0.02	-0.07	
시료B	0	0	0	0	+0.01
	+0.01	+0.01	+0.01		+0.02

단위(m/m)

부위 시료	W	W'	L	L'	H	H'
시료A	-0.05	-0.08	+0.01	-0.01	-0.04	-0.05
시료B	+0.02	+0.04	-0.02	-0.02	-0.02	-0.02

이와같은 시료를 그림 4와 같은 Heat-Cycle로 真空ガス 燃入및 燃戻를 실시한 후 시료의 變形量을 표 4에 나타내었다.

가공응력이 있는 A시료는 變形평차도 크고 응력제거

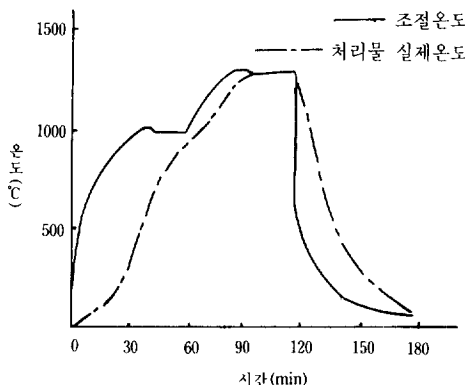
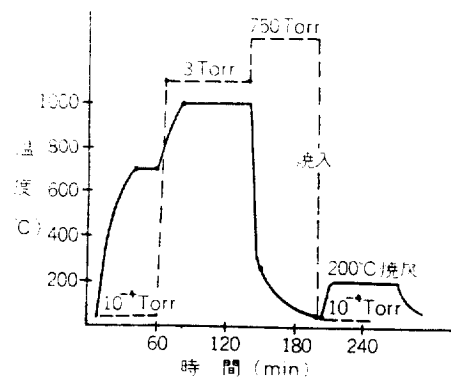


그림 5. 진공열처리 가열 냉각곡선(100 KG 장입)



처리물 형상 : 6 φ × 122 mm봉

장입장 : 51 kg(1300 개)

그림 7. SUS 420 J 2 의 열처리 Cycle

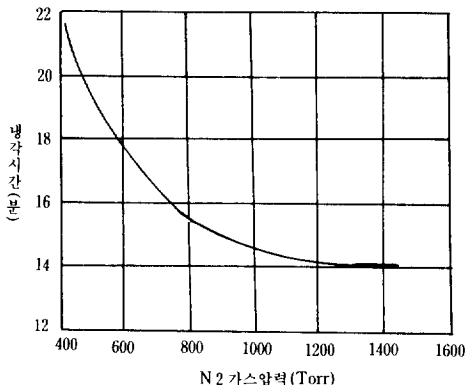


그림 6. 냉각가스와 도입가스 압력의 관계(냉각시간 : 1000°C → 500°C 까지의 시간)

(소둔)한 시료 B보다 变形量도 큰 것을 알 수 있다. 또 시료 A는 흄의 입구부분이 축소된 반면 시료 B는 형상 변형이 거의 없었다. SKD-11과 같은 鋼種은 殘留 AUSTENITE가 많기 때문에 한쪽으로는 팽창되고 다른쪽으로는 수축변형이 되는 것으로 여겨진다.

이상과 같이 真空热處理에서는 일반 분위기 열처리에 비해 变形이 훨씬 적은 것은 사실이나 加工度가 높은 것에 대해서는 燃入에 의한 变形과 동시 加工應力에 의한 变形도 충분히 주의를 해야한다.

### 2-3 昇溫特性

眞空爐는 다른爐에 비해 爐體의 蓄熱量, 擴散熱量이 적어 승온속도가 아주 빠르다. 그림 5에 真空热處理爐를 이용하여 100 kg 장입時の 1300°C까지의 가열냉각곡선을 나타내었다.

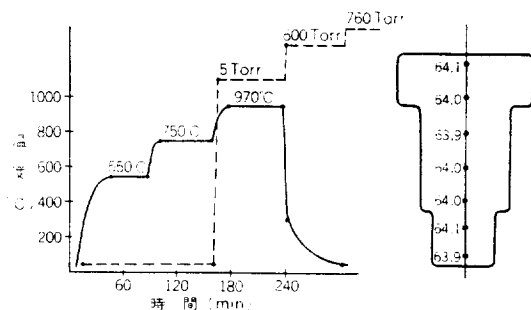


그림 8. SKD-11 진공열처리 Cycle 및 내부경도분포

低温구역에서의 處理物과 分위기(계기상)의 온도차 및 시간에 대해 고찰해 보면 真空중 加熱에 있어서는 放射로 인한 問題가 있다. 放射熱量은 絶對溫度의 4乗에 비례하기 때문에 고온에서는 對流보다도 放射에의한 쪽이 热量이 훨씬 떨어진다. 그러므로 고온구역에서는 處理物과 分위기와의 온도차가 별로 없지만 저온에서는 放射熱量이 적으므로 실제온도 差는 크다. 그러므로 1300°C이하 온도에서의 豫熱의 필요성이 그림 5에 잘 나타나 있다. 또한 發熱體에 접해 있는 쪽의 處理物은 渦度가 빨리 올라가나 그 반대쪽에 있는 處理物은 승온이 늦기 때문에 加熱不足現象이 나타나기 때문에 處理物크기에 따라 적당한 Holding Time을 선정할 필요가 있다.

### 2-4 冷却特性

그림 6에 真空ガス 冷却時に 있어서의 N<sub>2</sub>ガス 도입 압력에 의한 冷却效果를 표시하였다. N<sub>2</sub>도입압력(도입

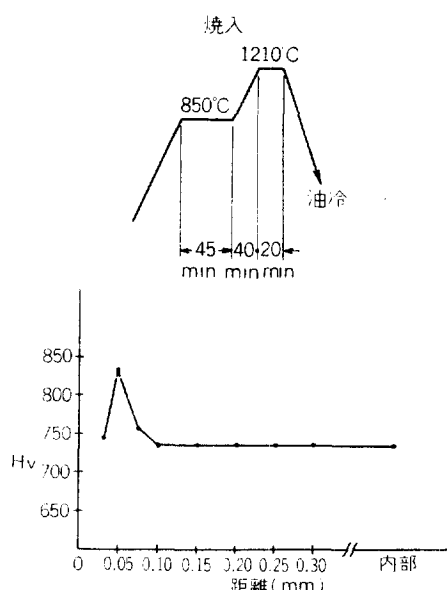


그림 9. SKH-9의 진공열처리 Cycle 및 내부경도분포

가스량)을 1000 Torr이상 도입하여도 冷却時間은 그다지 变화없이 일정하게 되어 냉각시간 단축은 기대하기 어렵다. 760 Torr이상이 되면 진공용기등의 内壓에 문제가 있고 가스 소비량도 커지므로 일반적으로 로내온도에 의한 N<sub>2</sub>가스 팽창 壓力分을 고려하여 600~700 Torr의 N<sub>2</sub>도입압력이 사용된다.

냉각가스 매체로서의 가스는 H<sub>2</sub>, He, N<sub>2</sub>, Ar등의 냉각속도 順으로 H<sub>2</sub>의 냉각속도를 1로 보았을때 He은 1.2, N<sub>2</sub>는 1.5, Ar은 1.75로써 H<sub>2</sub>는 가장 빠른 냉각 속도를 가진 반면 폭발의 위험이 있고 다른 He, Ar등은 高價로서 통상 N<sub>2</sub>가 사용되고 있는 것이다. 그러므로 질소가스를 사용한 真空冷却의 경우가 다른 方法에 비해 냉각속도가 빠르다.

그림 7, 그림 8, 그림 9에 각각 SUS 420J2, SKD-11, SKH-9의 真空ガス(N<sub>2</sub>)燒入時の條件과 結果를 나타내어 주고 있다. 그러나 고속도공구강의 진공소입의 경우 가스소입時보다도 더 만족한 경도를 얻기위해 真空加熱后 油冷하는 경우 제품표면에 燒入油중의 탄소와 반응하여 순간적으로 漫炭되어 白層이 생기는 경우가 있다. 이것은 고속도공구강을 1100°C 이상에서 真空油燒入時 表面에 있어서의 탄소농도가 내부보다도 높게 되는 현상에 의해 발생되게 된다. 따라서 이것을 방지하기 위해서는 가스-油冷 겸용 진공로일 경우 1100°C

까지는 가스冷却, 그 이하에서는 油冷해 주면 白層을 방지할 수가 있다.

### 3. 真空 및 放電을 이용한 表面硬化法

#### 3-1 이온 窒化法(Ion Nitriding)<sup>4)</sup>

##### 3-1-1 原理

窒化장치는 真空爐, 真空PUMP, 電氣Unit 및 GAS供給系로 구성되어 減壓된 真空爐중에 被處理物을 陰極, 真空爐體를 陽極으로 하여 爐내를 N<sub>2</sub> 또는 NH<sub>3</sub>등 低壓의 가스 분위기(0.5~10 Torr)로 하고 이것에 直流 300~1000 V의 전압을 通電시켜 被處理物 表面에 Glow放電(Glow Discharge)을 發生시킨다. 分위기 가스중의 N<sub>2</sub>는 Glow放電에 의해 ion化되고 높은 運動ENERGY를 가진 加速化된 陽이온(N<sup>+</sup>)으로 되어 음극쪽으로 이동하여 被處理物 表面에 충돌한다. ion이 충돌된 運動ENERGY는 热ENERGY로 변화되어 被處理物을 加熱한다. 따라서 이온變化는 종래의 變化處理와 같이 加熱장치 및 保溫設備가 필요없다. 한편 충돌의 反作用에 의해 被處理物 表面에서 原子 및 電子가 뛰어나와 爐內에는 N<sub>2</sub>분위기 또는 Plasma중에서 電子에 의해 分子狀의 N<sub>2</sub>에서 生成된 原子狀의 N와 Sputtering에 의해 뛰어나온 Fe原子와 결합, 窒化鐵(Fe<sub>4</sub>N, Fe<sub>3-2</sub>N)을 形成한다. 이 窒化鐵이 이온충격과 高溫상태에서 증발된 N에 의해 鋼이 内部에擴散, 變化가 進行된다. 또 陰極에서擴散된 Fe原子는 유력한 N의 Carrier가 되고 H<sup>+</sup>이온은 被處理物의 表面에 충돌, 가열됨과 동시에 재료중의 酸化物를 還元, 表面Scale을 除去하여 活性화된 表面을 形成, N의擴散에 크게 기여한다.

##### 3-1-2 이온질화의 特징

###### 1) 無公害

이온窒化는 종래의 NH<sub>3</sub>가스 및 시안을 사용한 鹽溶窒化와 달리 公害의 대상이 되는 物質을 사용치 않으므로 전히 無公害 處理法이다.

###### 2) 窒化速度가 빠르다.

가스窒化와 比較 550°C로 0.4 mm의 窒化層을 얻는데 가스窒化는 20 시간, 이온질화는 약 8 시간으로 2 배정도 빠르다.

###### 3) 化合物層의 造成調整이 可能

N<sub>2</sub> 및 H<sub>2</sub>가스량을 조절, 化合物층을 γ相(Fe<sub>4</sub>N) 혹은 ε相(Fe<sub>2-3</sub>N)으로 조절이 가능하여 용도에 맞는 化

合物層 조성조정이 가능하다.

#### 4) 窒化層의 均一性

가스窒화는  $\text{NH}_3$ 가스 분해율의 差에 따라 大型 被處理物의 窒化는 窒化層의 不均一性이 나타났으나 이온窒化는 被處理物 全面에 均一한 Glow放電 및 Sputtering 작용에 의해 균일한 질화층을 얻는다.

#### 3-2 이온浸炭法(Ion Carburizing)<sup>5)</sup>

##### 3-2-1 이온浸炭法의 原理

이온 浸炭法은 處理品을 真空爐에 장입, 炭化水素系 가스의 惰性분위기중에서 加熱에 의해 陰極處理品과 電極間에 直流電壓이 加해져 Glow放電을 일으켜 Plasma를 發生시킨다. 雾團氣중의 C는 Glow放電에 따라 이온화, 높은 運動ENERGY를 가진 陽이온(C<sup>+</sup>)으로 되고 處理物 표면에 충돌하여 浸炭이 되는 것이다. 일반적으로 浸炭處理는 活性화된 C를 철강표면 및 반응에 의해 내부로擴散시키는 방법이다. 이온浸炭은 가스浸炭 및 真空浸炭의  $2\text{CO} \rightarrow (\text{C}) + \text{CO}_2$  같은 CO가스의 열분해반응을 이용하는 것이 아니라 Glow放電 Plasma를 사용시켜 높은 Energy를 가진 C이온을 處理物 표면에 충돌시켜 표면의 清淨화와 동시에 浸炭을 시키는 방법이다.

##### 3-2-2 이온浸炭法의 特징

###### 1) 炭素의 공급속도가 빠르다.

真空가열에 의해 표면이 活性화된 처리물에 높은 운동ENERGY를 가진 C이온이 충돌되므로 浸炭時間이 종래의 가스法보다 약 50% 단축이 가능하다.

###### 2) 浸炭層의 제어가 용이하다.

침탄깊이를 결정하는 因子는 온도, 시간, 分위기ガス의 탄소농도이나 종래法은 分위기ガス의 선정 및 Carbon Potential Control이 복잡하였으나 이온침탄법은 放電電流密度의 증가에 따라 침탄깊이 및 탄소농도가 증가되므로 전류밀도를 조절 용이하게 Control할 수 있다.

###### 3) 表面의 清淨화 및 變性爐가 필요없다.

真空중에서 가열되므로 처리물 표면의 산화물을 제거, 脱ガス가 이루어져 처리물 표면이 깨끗하고 이온침탄에서는 生ガ스를 직접 爐내에 도입시키므로 變成爐가 필요없다.

#### 3-3 真空浸炭法

##### 3-3-1 原理

진공침탄로는 진공로, 本體GAS공급장치 및 제어반으

로 되어 있으며 爐本體는 종래의 油燒入真空熱處理爐 그대로이고 가스 공급장치와 침탄제어용 장치가 부착되어 있는 점이 다르다. 原理는 爐內에 도입된  $\text{CH}_4$ 가스가 분해  $\text{CH}_4 \rightarrow (\text{C}) + 2\text{H}_2$ 로 되어 직접 C가 진공가열중에活性화된 표면에 접촉 침탄이 진행된다.

일반적으로 가스침탄에는  $\text{CO}$ ,  $\text{CO}_2$  혼합가스중에서 처리함에 비해 진공침탄의 경우는 거의  $\text{O}_2$ 의 존재가 없는 분위기로써 浸炭一擴散공정이 반복된다. 침탄이 완료되면  $\text{N}_2$ 가스를 도입시켜 냉각실에서 550~600°C까지 냉각 후 재소입온도에 가열하여 결정립의 微細화를 꾀하고 그 후 소입온도에 유지시켜 油燒入을 한다.

##### 3-3-2 真空浸炭法의 特징

###### 1) 침탄시간의 단축

고온침탄이 가능하므로 침탄시간을 현저히 단축시킨다. 특히 침탄층이 3mm 이상의 것이나 浸炭이 곤란한 Stainless鋼, 규소鋼 등에도 좋은 효과가 있다.

###### 2) 無公害 작업환경이 양호

大氣를 오염하는 가스가 전혀 방출이 안되므로 無公害이며 진공로 자체는 전체에 걸쳐 水冷시켜주므로 爐壁은 20°C 전후로 유지되어 열의 방출도 없다.

###### 3) 變成爐의 불필요 및 침탄층의 均一性

종래와 같은 가스발생장치용 변성로를 필요로 하지 않고 직접 天然가스를 사용한다. 또한 침탄전에 진공중에서 가열되므로 표면이 깨끗하고 均一하다.

###### 4) 浸炭농도 control이 정확하다.

과잉침탄은 없으며 침탄농도의 설정용제어장치에 의해 침탄처리의 각因子가 정확히 control된다.

#### 3-4 이온 Plating法

이온Plating法은 1963년 미국의 D.M. Mattox에 의해 제창된 방법으로  $10^{-2}$  Torr 정도의 저진공 不活性ガス 분위기 중에서 被蒸着物을 Cathod(-)로 하여 Glow放電을 발생시켜 蒸發物質은 이 Glow放電중을 통과하여 이온화되고 더욱 加速되어 被蒸着物表面에 퇴적시키는 것이다. 동시에 이온화된 不活性ガス粒子에 피증착물 표면의 Sputtering Cleaning이 이루어져 항상 깨끗한 표면 Coating이 된다. 이온Plating의 특징은 i) 表面피복층과 母材와의 密着性이 아주 우수함. ii) 피복층이 치밀하여 결함이 적은 피복층을 얻음. iii) 복잡한 형상도 균일한 피복층을 형성함등의 특징이 있다. 이온Plating의 응용으로 최근 많이 實用化된 ARE法(活性化反應蒸着法; Activated Reactive Evaporation)으로 TiC를 비롯

한 천이금속의 탄화물, 질화물, 산화물의 종착이 많이 이용되고 있다.

#### 4. 맷는말

이상에서 최근 국내에도 많이 보급되고 있는 真空熱處理爐의 특성과 열처리기술에 대해서 개략의 說明과 實例를 소개하고 真空 및 放電을 이용한 表面硬化法도 간단히 그 원리와 특성을 기술해 보았다.

어느것이나 종래의 열처리 기술과는 그 원리와 設備가 크게 개발되어 高精密時代에 맞는 品質高級化를 꾀하고 있다.

真空雰圍氣에서의 热處理設備도 점차 그 技術이 보완되어 공급되고 있고 表面硬化法도 종래의 固體浸炭→가

스浸炭→真空浸炭으로, 鹽溶變化→Turfittide軟窒化→GAS窒化→이온窒化로 真空과 放電을 이용한 新技術이 급속히 보급되고 있어 세계적으로 問題化되고 있는 無公害와 ENERGY절약 차원에서도 이러한 기술이 널리 개발, 보급되어질 전망이다.

#### 참고문헌

- 1) 山中久彥:工業技術 Library, 36(1973.3)
- 2) 藤野良治:熱處理, 15, 5(1975.10)
- 3) 松岡盛敬・武田正夫:島律評論 Vol 33, No. 1, 2(1976)
- 4) 山中久彥:「Ion 窒化法」(1976) 日刊工業新聞
- 5) Klöckner Ionon社 技術資料